

УДК 539.374:537.321/322

ВЛИЯНИЕ ЭЛЕКТРИЧЕСКОГО ТОКА НА ОБРАЗОВАНИЕ ШЕЙКИ В РАСТЯГИВАЕМОМ СТЕРЖНЕ

А. А. Бычков, Д. Н. Карпинский

Научно-исследовательский институт механики и прикладной математики
при Ростовском государственном университете, 344090 Ростов-на-Дону

Исследованы условия шейкообразования в растягиваемом термовязкопластичном стержне в условиях пропускания через него переменного электрического тока. Моделирование учитывает сложные определяющие соотношения для материала стержня, теплопередачу в стержне и распределение тока по сечению стержня в зависимости от его частоты (скин-эффект). Исследована устойчивость однородного растяжения с помощью линейного анализа возмущений на основе теории Раусса — Гурвица, результаты уточнялись с помощью нелинейного анализа с учетом влияния амплитудной зависимости возмущений на устойчивость пластического деформирования.

Введение. В [1] выполнен расчет условий образования шейки при растяжении стержня на основе модели (см. библиографию в [1]), которая предполагает на раннем этапе развития локализации деформации мгновенное возникновение и стабилизацию локальных утонений на образце, устойчивая локализация формоизменения наступает в связи с увеличением числа спонтанно возникающих шеек при достаточно больших деформациях. По мнению авторов, дальнейшее развитие исследований шейкообразования необходимо связать с разработкой методов управления условиями деформирования образца. Одним из таких методов является электропластическая обработка образцов с целью понижения энергозатрат и предупреждения появления шейки, в частности при волочении проволоки [2, 3].

В [3] предполагается, что влияние электрического тока на механические свойства нагруженного твердого тела обусловлено действием джоулева тепла, пондеромоторными силами, создаваемыми магнитным полем тока и «электронным ветром», связанным с рассеянием электронов на дислокациях (электронно-пластический эффект). Эти механизмы способствуют облегчению пластической деформации в местах концентрации механических напряжений, что позволяет считать электрообработку образцов перспективным технологическим приемом. Расчет влияния джоулева тепла на условия роста трещины выполнен в [4, 5]. Что касается влияния электрического тока на условия образования шейки в растягиваемом стержне, то авторам известна только работа [6], в которой на основании расчета сделан вывод о том, что импульсный электрический ток не влияет на образование шейки, а оказывает лишь общее пластифицирующее действие на деформируемый образец. Однако, по нашему мнению, в [6] не представлены убедительные аргументы, подтверждающие справедливость сделанных выводов, а сама задача требует дополнительного исследования.

В настоящей работе ограничимся оценкой условий образования шейки в сплошном стержне из термовязкопластичного материала при различных величинах и частотах переменного электрического тока, протекающего через стержень.

1. Постановка задачи. Постановка задачи о шейкообразовании при одноосном растяжении сплошного стержня с плотностью ρ_0 дана в [7]. Дополним предположения [7] об условиях деформирования стержня условием воздействия переменного электрического тока на стержень в режиме постоянной разности потенциалов U на его концах, учитывая

при этом нагрев образца джоулевым теплом и эффект Томсона [8]. Полагая начальное поперечное сечение стержня A_0 однородным вдоль длины, получим следующую систему уравнений, описывающую поведение образца при больших пластических деформациях:

$$\frac{\partial \varepsilon}{\partial t} = e^{-\varepsilon} \frac{\partial v}{\partial X}, \quad \rho_0 \frac{\partial v}{\partial t} = \frac{\partial}{\partial X} (\sigma e^{-\varepsilon}), \quad C \frac{\partial \theta}{\partial t} = k \frac{\partial^2 \theta}{\partial x^2} + \lambda j \frac{\partial \theta}{\partial x} + \gamma j^2 + \beta \sigma \frac{\partial \varepsilon}{\partial t}. \quad (1)$$

Здесь v — скорость перемещения; ε — деформация; θ — температура; C — теплоемкость; k — удельная теплопроводность; β — доля пластической работы, преобразующаяся в тепло; λ — коэффициент Томсона [8]; $\gamma = \gamma_0(1 + \alpha(\theta - 273))$; γ_0 — начальное удельное сопротивление; α — температурный коэффициент электросопротивления; j — плотность тока в режиме постоянного напряжения $U = U_0$ на образце:

$$j = \bar{j}_0 e^\varepsilon l_0 k_\omega(0, \theta^*) / \int_0^{l_0} k_\omega(\varepsilon, \theta) dX,$$

где $k_\omega(\varepsilon, \theta) = (\gamma/\gamma_0) e^{2\varepsilon} (1 + (A_0 e^{-\varepsilon} \omega / (10^7 \gamma))^2 / 12)$ в случае слабого скин-эффекта [8] и

$$k_\omega(\varepsilon, \theta) = \frac{\gamma}{\gamma_0} e^{2\varepsilon} (0,277 + 0,997 (A_0 e^{-\varepsilon} \omega / (2 \cdot 10^7 \gamma))^{1/2})$$

в случае сильного скин-эффекта [8]; \bar{j}_0 и U_0 — плотность тока и напряжение на образце в начальный момент времени; l_0 — начальная длина образца.

Связь между эйлеровой координатой x и лагранжевой X задана выражением

$$x = X + \int_0^t v(X, \tau) d\tau. \quad (1a)$$

Функция $\sigma = F_t^{-1} \psi(\theta, \varepsilon, \dot{\varepsilon})$ задает нелинейное определяющее соотношение материала стержня. Множитель Бриджмена $F_t^{-1} = (1 + 2R_c/R) \lg(1 + R/(2R_c))$ учитывает трехосность напряженного состояния в шейке, а локальный радиус сечения стержня R и радиус шейки R_c связаны соотношением $R_c = (1 + (\partial R / \partial x)^2)^{3/2} / (\partial^2 R / \partial x^2)$ [1].

Выберем определяющее соотношение аналогично [7]:

$$\sigma = \mu F_t^{-1} \varepsilon^n \dot{\varepsilon}^m \theta^\nu, \quad (2)$$

где μ, n, m, ν — постоянные. При этом для (1) предполагаются следующие начальные и граничные условия:

$$\begin{aligned} t = 0: \quad \varepsilon = 0, \quad \dot{\varepsilon} = \frac{V}{l_0} = \dot{\varepsilon}^*, \quad v = \frac{V}{l_0} X = \dot{\varepsilon}^* X, \quad \theta = \theta^*, \\ X = 0: \quad v = 0, \quad \frac{\partial \theta}{\partial X} = 0, \quad X = l_0: \quad v = V, \quad \frac{\partial \theta}{\partial X} = 0, \end{aligned} \quad (3)$$

где $V, \theta^*, \dot{\varepsilon}^*$ — постоянные.

2. Линейный анализ. Рассмотрим в момент времени t_0 однородное зависящее от времени решение $\varepsilon_0, \sigma_0, v_0, \theta_0, F_{t_0}$ уравнений (1), (2) с начальными и граничными условиями (3). Аналогично [7] представим малое возмущение этого решения (неоднородное решение) в следующей форме:

$$\begin{aligned} \varepsilon(X, t) &= \varepsilon_0(t) + \delta \varepsilon(X, t) = \varepsilon_0(t) + \delta \varepsilon_0 e^{\eta(t-t_0)} e^{i\xi X}, \\ \sigma(X, t) &= \sigma_0(t) + \delta \sigma(X, t) = \sigma_0(t) + \delta \sigma_0 e^{\eta(t-t_0)} e^{i\xi X}, \\ v(X, t) &= v_0(X, t) + \delta v(X, t) = v_0(X, t) + \delta v_0 e^{\eta(t-t_0)} e^{i\xi X}, \end{aligned} \quad (4)$$

$$\theta(X, t) = \theta_0(t) + \delta\theta(X, t) = \theta_0(t) + \delta\theta_0 e^{\eta(t-t_0)} e^{i\xi X},$$

$$F_t(X, t) = F_{t0}(t) + \delta F_t(X, t) = F_{t0}(t) + \delta F_{t0} e^{\eta(t-t_0)} e^{i\xi X},$$

где $\delta\varepsilon, \delta\sigma, \delta\nu, \delta\theta, \delta F_t$ — амплитуды возмущений; $\eta = \delta\dot{\varepsilon}/(\delta\varepsilon)$ — мера роста возмущения; ξ — волновое число. Выбор неоднородного решения (4) основан на предположении малости амплитуды возмущения по сравнению с $\varepsilon_0, \sigma_0, \nu_0, \theta_0, F_{t0}$, тогда разложение в ряд Фурье неоднородного решения может быть ограничено первым слагаемым ряда. Обычно этот метод используется, когда возмущаемое решение стационарно, однако его используют также для исследования устойчивости решения, зависящего от времени [7], но в этом случае предполагают, что скорость роста возмущения много больше скорости роста однородного решения [9].

Подставляя (4) в (1), (2) и учитывая, что $F_{t0} = 1, \delta F_{t0} = -(A_0/(2\pi))\xi^2 e^{-2\varepsilon_0}\delta\sigma_0$, получим систему линейных уравнений с неизвестными $\delta\varepsilon_0, \delta\sigma_0, \delta\nu_0, \delta\theta_0$

$$\left(\frac{\partial\psi}{\partial\varepsilon} + \eta \frac{\partial\psi}{\partial\dot{\varepsilon}} + \frac{A_0}{2\pi} \zeta^2 e^{-2\varepsilon_0} \sigma_0 \right) \delta\sigma_0 - \delta\nu_0 + \frac{\partial\psi}{\partial\theta} \delta\theta_0 = 0,$$

$$-\sigma_0 e^{-\varepsilon_0} i\xi \delta\varepsilon_0 + e^{-\varepsilon_0} i\xi \delta\sigma_0 - \eta \rho_0 \delta\nu_0 = 0, \quad (\eta + \dot{\varepsilon}_0) \delta\varepsilon_0 - i\xi e^{-\varepsilon_0} \delta\nu_0 = 0,$$

$$(\eta \beta \sigma_0 + 2\gamma_0 j_0^2 e^{2\varepsilon_0} s^2 (1 + \alpha(\theta_0 - 273))) \delta\varepsilon_0 +$$

$$+ \beta \dot{\varepsilon}_0 \delta\sigma_0 + (\lambda j_0 e^{\varepsilon_0} i\xi s + \alpha \gamma_0 j_0^2 e^{2\varepsilon_0} s^2 - C\eta - k \xi^2 e^{-2\varepsilon_0}) \delta\theta_0 = 0,$$

где $s = k_\omega(0, \theta^*)/k_\omega(\varepsilon_0, \theta_0)$. Корни характеристического уравнения данной системы определяют устойчивость решения задачи, соответствующего равномерному растяжению стержня (однородное решение). Характеристическое уравнение для данной системы имеет следующий вид:

$$\eta^3 + (a'_1 + ia''_1)\eta^2 + (a'_2 + ia''_2)\eta + a'_3 + ia''_3 = 0,$$

где

$$a'_1 = \frac{1}{\rho_0 C} \left[\xi^2 \left(e^{-2\varepsilon_0} C \frac{\partial\psi}{\partial\dot{\varepsilon}} + k\rho \right) + \dot{\varepsilon}_0 \rho \left(C - \frac{\partial\psi}{\partial\theta} \beta \right) - \rho_0 \alpha \gamma_0 j_0^2 e^{2\varepsilon_0} s^2 \right], \quad a''_1 = -\frac{1}{C} \lambda j_0 \xi e^{\varepsilon_0} s,$$

$$a'_2 = \frac{1}{\rho_0 C} \left[\xi^4 e^{-2\varepsilon_0} \left(e^{-2\varepsilon_0} \sigma_0 C \frac{A_0}{2\pi} + k \frac{\partial\psi}{\partial\dot{\varepsilon}} \right) + \xi^2 \left[e^{-2\varepsilon_0} \left(\sigma_0 \beta \frac{\partial\psi}{\partial\theta} + C \left(\frac{\partial\psi}{\partial\varepsilon} - \sigma_0 \right) \right) + \dot{\varepsilon}_0 k \rho \right] - \right.$$

$$\left. - \beta \rho \dot{\varepsilon}_0^2 \frac{\partial\psi}{\partial\theta} - \left(\frac{\partial\psi}{\partial\dot{\varepsilon}} \xi^2 e^{-2\varepsilon} + \rho_0 \dot{\varepsilon}_0 \right) \alpha \gamma_0 j_0^2 e^{2\varepsilon_0} s^2 \right],$$

$$a''_2 = -\frac{1}{\rho_0 C} \left(\frac{\partial\psi}{\partial\dot{\varepsilon}} \xi^2 e^{-2\varepsilon} + \rho_0 \dot{\varepsilon}_0 \right) \lambda j_0 \xi e^{\varepsilon_0} s,$$

$$a'_3 = \frac{1}{\rho_0 C} \left[\xi^6 e^{-4\varepsilon_0} \sigma_0 \frac{A_0}{2\pi} k + \xi^4 e^{-2\varepsilon_0} k \left(\frac{\partial\psi}{\partial\varepsilon} - \sigma_0 \right) + \xi^2 e^{-2\varepsilon_0} \sigma_0 \frac{\partial\psi}{\partial\theta} \dot{\varepsilon}_0 \beta + \right.$$

$$\left. + 2\gamma_0 j_0^2 s^2 (1 + \alpha(\theta_0 - 273)) \frac{\partial\psi}{\partial\theta} \xi^2 e^{-2\varepsilon_0} - \left(\frac{\partial\psi}{\partial\varepsilon} + \frac{A_0}{2\pi} \xi^2 e^{-2\varepsilon_0} \sigma_0 - \sigma_0 \right) \alpha \gamma_0 j_0^2 \xi^2 s^2 \right],$$

$$a''_3 = -\frac{1}{\rho_0 C} \left(\frac{\partial\psi}{\partial\varepsilon} + \frac{A_0}{2\pi} \xi^2 e^{-2\varepsilon_0} \sigma_0 - \sigma_0 \right) \lambda j_0 s \xi^3 e^{-2\varepsilon_0}.$$

Согласно теории устойчивости Раусса — Гурвица решение задачи устойчиво, если все корни характеристического уравнения данной линеаризованной системы имеют отрицательную действительную часть. Для этого необходимо и достаточно, чтобы матрица

$$\begin{pmatrix} 1 & -a_1'' & -a_2' & a_3'' & 0 \\ 0 & 1 & -a_1'' & -a_2' & a_3'' \\ 0 & 0 & a_1' & -a_2'' & -a_3' \\ 0 & a_1' & -a_2'' & -a_3' & 0 \\ a_1' & -a_2'' & -a_3' & 0 & 0 \end{pmatrix}$$

была иннорно-положительна [10].

Для вычисления скорости равномерной деформации $\dot{\varepsilon}_0$ использовалось следующее соотношение: $\dot{\varepsilon}_0 = \varepsilon^* e^{-\varepsilon_0}$, а температура стержня на этапе равномерной деформации θ_0 определялась из решения уравнения

$$C \frac{\partial \theta_0}{\partial t} = \gamma_0 (1 + \alpha(\theta_0 - 273)) j_0^2 e^{2\varepsilon_0} s^2 + \beta \sigma_0 \frac{\partial \varepsilon_0}{\partial t}.$$

Граница устойчивости однородного решения для задачи (1)–(3) соответствует нарушению условия иннорной положительности характеристической матрицы. Результаты расчета этой границы при значениях постоянных $\mu = 2,486 \cdot 10^4$ МПа, $n = 0,52$, $C = 3,6 \cdot 10^6$ Дж/(м² · К), $k = 15$ Вт/(м · К), $\theta_0^* = 294$ К, $m = 0,002$, $\nu = -0,5$, $\rho_0 = 7800$ кг/м³, $A_0 = 4 \cdot 10^{-6}$ м² [7, 11], $\gamma_0 = 8,6 \cdot 10^{-8}$ Ом · м, $\lambda = -22,8 \cdot 10^{-6}$ В/К, $\alpha = 3,3 \cdot 10^{-3}$ К⁻¹ [12], $l_0 = 0,05$ м изображены на рис. 1 для различных значений начальной плотности j_0 и частоты ω электрического тока (кривая 1 соответствует $\omega = 0$, 2 — $\omega = 500$ кГц, 3 — $\omega = 700$ кГц, 4 — $\omega = 5$ МГц; кривые 1–3 — слабый скин-эффект, 4 — сильный скин-эффект; $j_0 = 2 \cdot 10^7$ А/м² (рис. 1, а), $j_0 = 3 \cdot 10^7$ А/м² (рис. 1, б)). Однородное решение будет устойчиво к возмущению при ξ и ε_0 , находящихся ниже соответствующих кривых на рис. 1, а, б.

3. Нелинейный анализ. Ниже проведен нелинейный анализ устойчивости образования шейки в растягиваемом образце с целью уточнения результатов линейного анализа из п. 2. Для этого к однородному решению задачи при значении однородной деформации $\varepsilon_0 = \varepsilon_0$ добавлялось возмущение деформации следующего вида:

$$\varepsilon_p = \varepsilon_0 \delta_0 \sin^2(\xi(x - a)),$$

где δ_0 — амплитуда начального возмущения; $\xi = \pi/(b-a)$ — волновое число, $a < x < b$; a и b — координаты левой и правой границ возмущенной области. Очевидно, что коэффициенты ряда Фурье для данного возмущения убывают как N^{-3} , где N — номер коэффициента Фурье. Выбор вида возмущения ε_p обеспечивает малую погрешность при отбрасывании

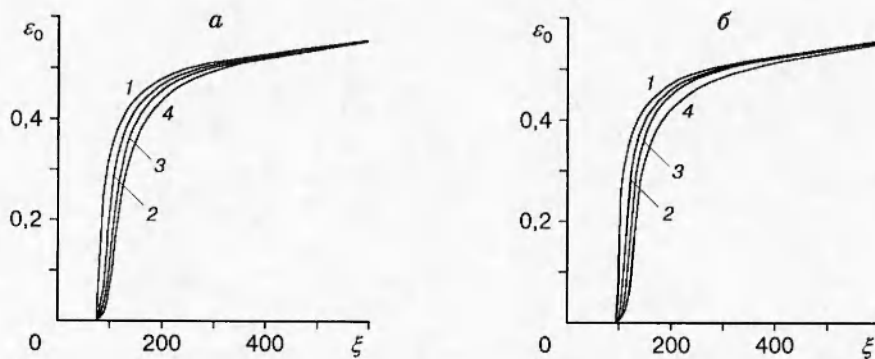


Рис. 1

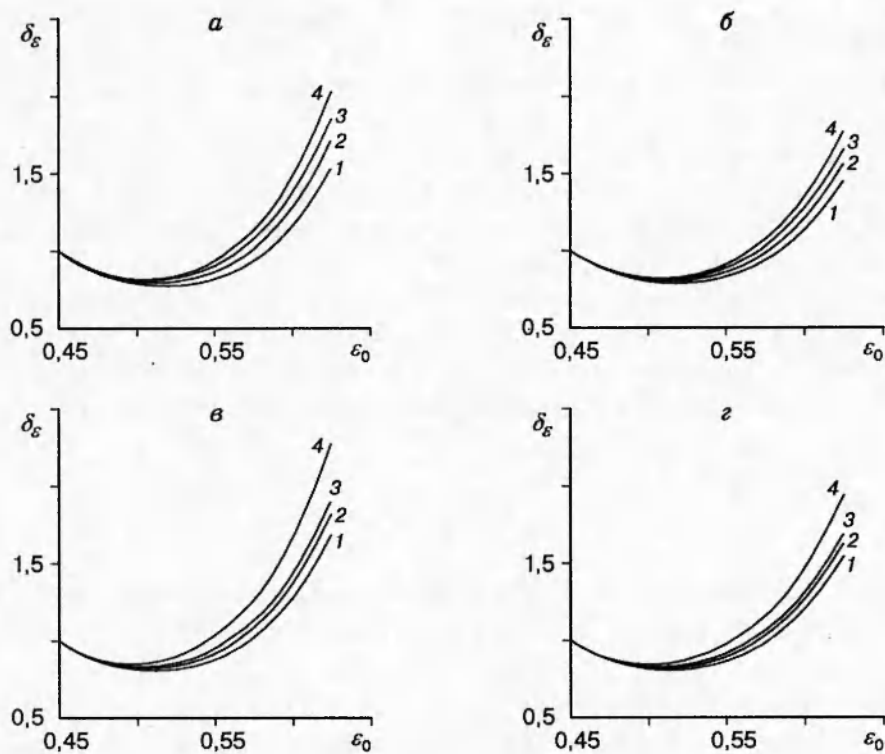


Рис. 2

членов ряда Фурье при $N > 1$ и связан с необходимостью сопоставления результатов линейного и нелинейного анализа. Последнее позволяет исследовать условия образования шейки в зависимости от амплитуды возмущения δ_0 . Результаты расчетов эволюции пластической деформации (1)–(3) с возмущенными начальными условиями представлены на рис. 2 ($\dot{\epsilon}^* = 1,66 \cdot 10^{-2} \text{ с}^{-1}$, $\bar{\epsilon}_0 = 0,45$), где показана зависимость относительной амплитуды возмущения $\delta_\epsilon(t) = (\max_x \epsilon(x, t) - \min_x \epsilon(x, t)) / (\bar{\epsilon}_0 \delta_0)$, $0 < x < l_0$ от однородной деформации ϵ_0 для различных значений начальной плотности электрического тока j_0 , частоты ω и волнового числа ξ (обозначения те же, что на рис. 1; $\bar{j}_0 = 2 \cdot 10^7 \text{ А/м}^2$ (рис. 2, а, б), $\bar{j}_0 = 3 \cdot 10^7 \text{ А/м}^2$ (рис. 2, в, г); $\xi = 157 \text{ м}^{-1}$ (рис. 2, а, в), $\xi = 314 \text{ м}^{-1}$ (рис. 2, б, г)).

4. Обсуждение результатов. Проанализируем полученные результаты. Как показано на рис. 1, при достаточно высокой скорости деформации $\dot{\epsilon}^*$ критическая деформация ϵ_{0c} существенным образом зависит от величины волнового числа ξ , особенно для малых его значений. Согласно результатам линейного анализа (рис. 1) при постоянном напряжении U увеличение частоты тока ω ведет к уменьшению устойчивости стержня к возмущению. При этом кривые на рис. 1, б располагаются ниже кривых на рис. 1, а, соответствующих тем же значениям ω . Таким образом, повышение начальной плотности тока \bar{j}_0 способствует более раннему образованию шейки, при этом влияние электрического тока особенно велико в области малых ξ . Следует отметить увеличение сдвига вправо кривых $\epsilon_{0c}(\xi)$ на рис. 1 при возрастании \bar{j}_0 . В то же время расчет показывает, что в случае, когда температурный коэффициент электросопротивления $\alpha = 0$, данные сдвиги отсутствуют и все кривые выходят из точки $\epsilon_0 = 0, \xi = 0$.

Согласно результатам нелинейного анализа (см. рис. 2) возмущение ϵ_p вначале затухает, а затем, по достижении $\epsilon = \epsilon_{0c}$, начинает расти. При этом чем больше значение ξ , тем позже наблюдается начало роста δ_ϵ и тем медленнее δ_ϵ растет (кривые на рис. 2, а, в наход-

дятся выше кривых на рис. 2,*b,g*, соответствующих тем же значениям j_0 и ω). Кривые для больших ω находятся выше кривых для меньших ω , а кривые на рис. 2,*a,b* располагаются ниже кривых на рис. 2,*b,g*, соответствующих тем же значениям ξ и ω , что подтверждает результаты линейного анализа.

Расчеты, проведенные для различных значений амплитуды начального возмущения в диапазоне $10^{-5} < \delta_0 < 10^{-2}$, показали, что δ_ϵ практически не зависит от величины δ_0 . Обнаружено также, что эффект Томсона оказывает малое (менее 2% от ϵ_{0c}) влияние на устойчивость деформируемого стержня.

Из расчетов также следует, что действие переменного электрического тока на деформируемый стержень способствует зарождению в нем шейки. Однако величина тока оказывает более существенное влияние на критическую деформацию шейкообразования, чем его частота. Амплитуда возмущения деформации и эффект Томсона слабо влияют на образование шейки.

ЛИТЕРАТУРА

1. Бычков А. А., Карпинский Д. Н. Численный анализ условий образования шейки в расстигиваемом стержне из термовязкопластического материала // ПМТФ. 1998. Т. 39, № 4. С. 174–179.
2. Действие электромагнитных полей на пластичность и прочность материалов: Тез. докл. II Всесоюз. конф., Юрмала, декабрь 1990 г. М.: Ин-т машиноведения АН СССР, 1990. Ч. 1, 2.
3. Спицын В. И., Троицкий О. А. Электропластическая деформация металлов. М.: Наука, 1985.
4. Максимов И. Л., Свирина Ю. А. Диссипативные неустойчивости разрушения в проводящих материалах с транспортным током. 1. Критерий неустойчивости, качественный анализ // Журн. техн. физики. 1996. Т. 66, № 9. С. 64–74.
5. Максимов И. Л., Свирина Ю. А. Диссипативные неустойчивости разрушения в проводящих материалах с транспортным током. 2. Эволюционные уравнения, диаграммы неустойчивости // Там же. С. 75–85.
6. Рузанов Ф. И., Рошупкин А. М., Сташенко В. И. Влияние скорости деформации и импульсного тока на предельное удлинение металла в режиме сверхпластичности // Пробл. машиностроения и надежности машин. 1990. № 1. С. 82–89.
7. Fressengeas C., Molinari A. Inertia and thermal effects on the localization of plastic flow // Acta Met. 1985. V. 33, N 3. P. 387–396.
8. Ландау Л. Д., Лифшиц Е. М. Электродинамика сплошной среды. М.: Гостехтеоретиздат, 1957.
9. Fressengeas C., Molinari A. Instability and localization of plastic flow in shear at high strain rates // J. Mech. Phys. Solids. 1987. V. 35, N 2. P. 185–211.
10. Джури Э. Иннеры и устойчивость динамических систем. М.: Наука. Гл. ред. физ-мат. лит., 1979.
11. Bai Y., Dodd B. Adiabatic shear localization // Occurrence, theories and applications. N. Y.: Pergamon Press, 1992.
12. Физические величины: Справ. / Под ред. И. С. Григорьева, Е. З. Мейлихова. М.: Энергоатомиздат, 1991.